

Atomes à N électrons

: approximation de champ central (CFA)

$$H_{CFA} \approx \sum_i \left(-\frac{\hbar^2}{2m} \nabla_i^2 - \frac{Ze^2}{4\pi\epsilon_0 r_i} + \underbrace{S(r_i)}_{\text{écranage}} \right)$$

orbitales atomiques : $\psi_{nlm}(\vec{r}) \chi_{S m_s}$

états à N électrons : $\{ n_j, l_j, m_j, m_s \}$; $\{ n_i, l_i, m_i, m_{s_i} \}$

orbitales complètement remplies

orbitales partiellement remplies

$$m = -l, \dots, l$$

$$m_s = \pm \frac{1}{2}$$

configuration électronique $1s^2 2s^2 2p^6 \dots n l^v$

$$E = \bar{E}_{\{nl\}}$$

dégénérescence

$$D_{nl} = \binom{2(2l+1)}{v}$$

	$1/2$				
m	-2	-1	0	1	2

Au delà de l'approximation CFA

$$H_I = -\sum_i S(r_i) + \sum_{i < j} \frac{e^2}{4\pi\epsilon_0 r_{ij}}$$

perturbation des états propres dégénérés de H_{CFA}

qui correspondent au fondamental

matrice des perturbations :

$$\langle \{ n_j, l_j, m_j, m_{s_j} \} ; \{ \underline{n_i}, \underline{l_i}, \underline{m_i}, \underline{m_{s_i}} \} | H_I | \{ n_j, l_j, m_j, m_{s_j} \} ; \{ \underline{n_i}, \underline{l_i}, \underline{m_i}, \underline{m_{s_i}} \} \rangle$$

$m \ m_s$	$-1 \ -\frac{1}{2}$	$-1 \ \frac{1}{2}$	$0 \ -\frac{1}{2}$	$0 \ \frac{1}{2}$	$1 \ -\frac{1}{2}$	$1 \ \frac{1}{2}$
$-1 \ -\frac{1}{2}$	 	 	 	 	 	
$-1 \ \frac{1}{2}$	-2	0	 	 	 	
$0 \ -\frac{1}{2}$	-1	-1	-1	0	 	
$0 \ \frac{1}{2}$	-1	0	-1	1	0	0
$1 \ -\frac{1}{2}$	0	-1	0	0	1	-1
$1 \ \frac{1}{2}$	0	0	0	1	0	1

valeurs de M, M_s possibles

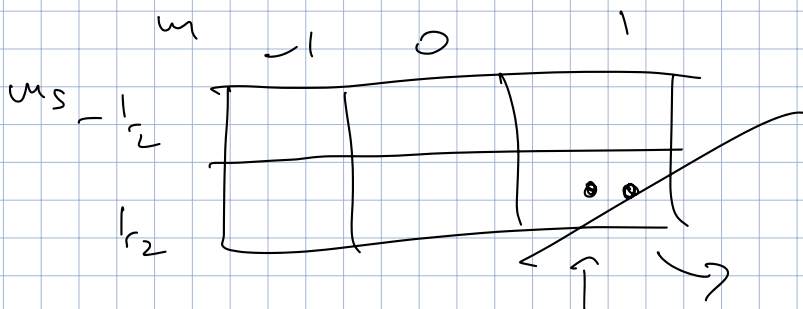
valeurs de LS possibles

$$\left. \begin{aligned} M &= -L, \dots, L \\ M_s &= -S, \dots, S \end{aligned} \right\}$$

formes LS

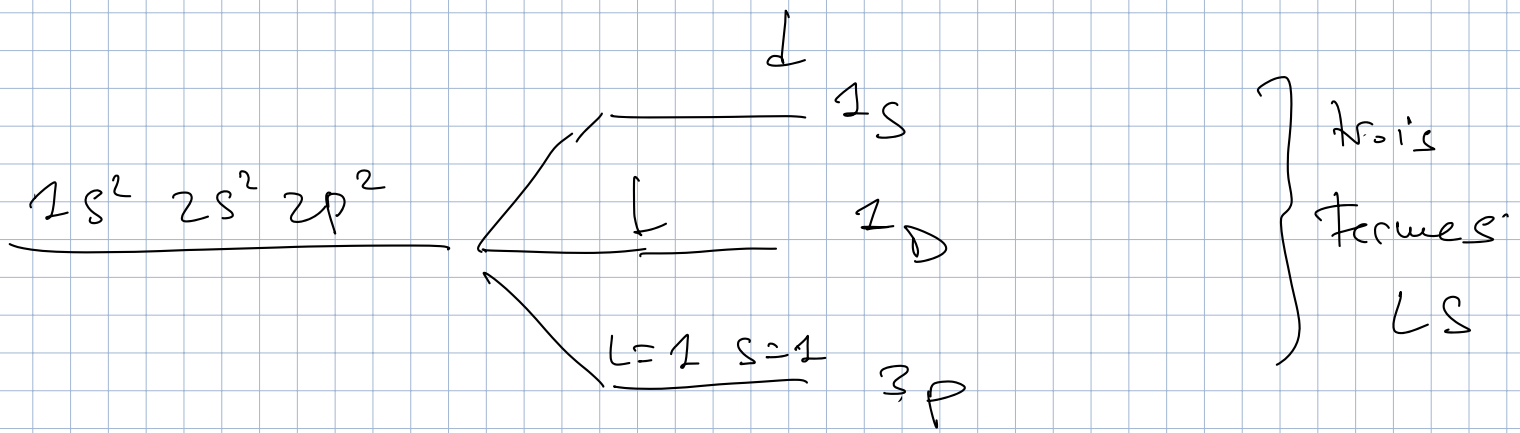
- $L = 2 \quad S = 0 \quad \rightarrow \quad 1D$
- $L = 1 \quad S = 1 \quad \rightarrow \quad 3P$
- $L = 0 \quad S = 0 \quad \rightarrow \quad 1S$

notation spectroscopique ^{2S+1}L



$$M = 2 \quad M_s = 1$$

$$\sum_{LS} (2S+1)(2L+1) = \underbrace{1}_{S=0, L=0} + \underbrace{9}_{S=1, L=1} + \underbrace{5}_{S=0, L=2} = 15$$



$\rightarrow \hat{H}_I$
 perturbation

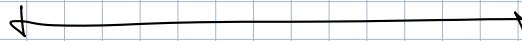
règles empiriques: règles de Hund

(3)

1) terme LS de plus basse énergie maximise S

2) si plusieurs termes avec S maximal

\rightarrow terme LS de plus basse énergie maximise L



Comptage spin-orbite

$$\hat{H}_S = \sum_{i=1}^N \zeta(r_i) \hat{L}_i \cdot \hat{S}_i$$



$${}^{u,n}H_{CFA} \Rightarrow {}^{u,n}H_I \Rightarrow {}^{u,n}H_0$$

$$Z \leq 40$$

\mathcal{H}_0 perturbation alternative des

$\{ \{ m_j, l_j, s_j \}, \{ m_i, l_i, s_i \}, LM, SM_s \}$ états dégénérés

$$\langle \gamma; LM', SM_s' | \mathcal{H}_0 | \gamma; LM, SM_s \rangle$$

$$= \dots = A_{LS} \langle \gamma; LM', SM_s' | \vec{L} \cdot \vec{S} | \gamma; LM, SM_s \rangle$$

$$\vec{J} = \vec{L} + \vec{S}$$

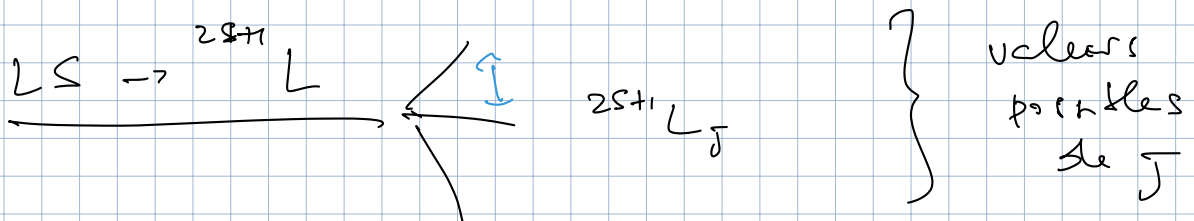
$$\vec{L} \cdot \vec{S} = \frac{1}{2} (\vec{J}^2 - \vec{L}^2 - \vec{S}^2)$$

$(\gamma; LM, SM_s) \xrightarrow{\text{changement de base}} (\gamma; LS; JM_J)$

$\vec{L}^2, L^z, \vec{S}^2, S^z$ $\vec{L}^2, \vec{S}^2, \vec{J}^2, J^z$

signe de A_{LS}

$$\Delta E_{LSJ} = A_{LS} \frac{h^2}{2} [J(J+1) - L(L+1) - S(S+1)]$$



$$J = |l-s|, \dots, l+s$$

3^{ème} règle de Hund

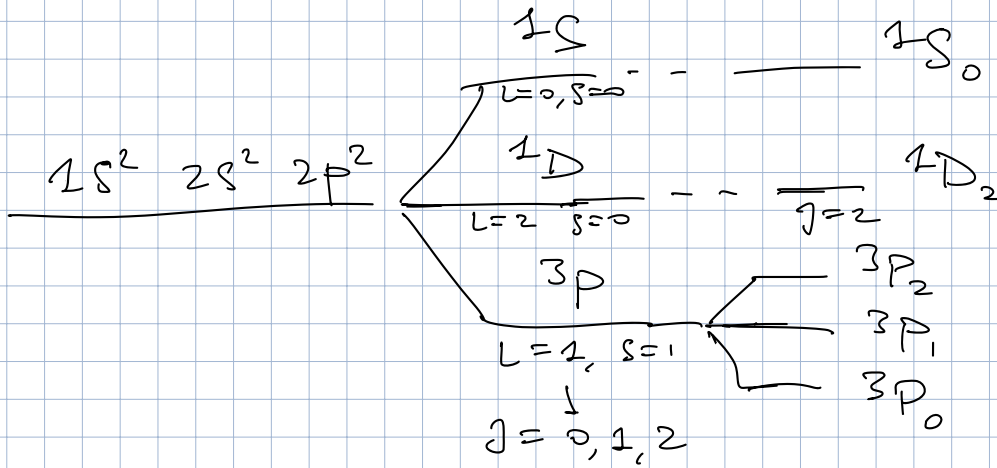
- $A_{LS} > 0$ si couche est moins qu'à moitié ou à moitié remplie

$A_{LS} < 0$

si coude est plus qu'à moitié remplie

ex - C :

$A_{LS} > 0$



Spectre des atomes en N électrons

→ Transitions et règles de sélection

$\vec{D} = -e \sum_i \vec{r}_i$ (en approx. de dipole)

$\langle \gamma'; \underline{L'S'}; \underline{JM'_j} | e_a D_q | \gamma; \underline{LS}; \underline{JM_j} \rangle \sim$ Wigner-Eckart
 $q = 0, \pm 1$

Diagram showing the transition between two states with quantum numbers $(\gamma', L'S', JM'_j)$ and (γ, LS, JM_j) . The dipole operator $e_a D_q$ is shown between them. The Wigner-Eckart theorem is indicated. The quantum numbers J and M_j are highlighted in green and yellow respectively.

$\Delta L = L' - L = 0, \pm 1$
 $\Delta S = S' - S = 0$
 $\Delta J = J' - J = 0, \pm 1$
 $\Delta M_J = M'_j - M_j = q$

($L=0 \rightarrow L'=0$ impossible)

($J=0 \rightarrow J'=0$ impossible)

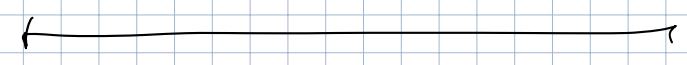
$\sum_{M M_s} \sum_{M' M'_s} \langle \gamma'; L' M' (S' M'_s) | e_a D_q | \gamma; L M (S M_s) \rangle$

Diagram showing the summation over magnetic quantum numbers M, M_s and M', M'_s for the transition matrix element. The states are labeled with their quantum numbers (L', M', S', M'_s) and (L, M, S, M_s) . A red arrow indicates the change in magnetic quantum number $\Delta M = M' - M = q$.

(Cas des atomes hydrogénéoïdes (alcalins, ions...))

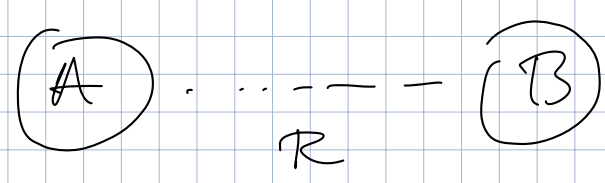
1 seul électron sur la couche externe

$$\Delta l = \frac{\Delta L = \cancel{0} \pm 1}{1}$$

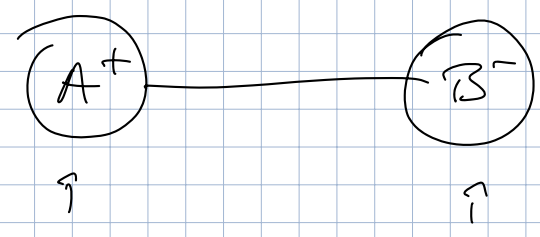


Pu des atomes à N électrons
 $Z \leq 40$

MOLECULES diatomiques



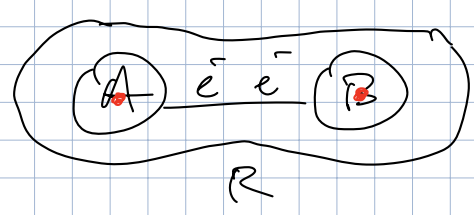
lien ionique



$$-\frac{e^2}{4\pi\epsilon_0 R}$$

Comparez l'énergie d'ionisation

lien covalent



$$R \sim a_0$$

